

---

UNIVERSITI SAINS MALAYSIA

Peperiksaan Semester Pertama  
Sidang Akademik 2006/2007

Oktober – November 2006

**EKC 462 – Sistem Kawalan Lanjutan Untuk Proses Industri**

Masa : 3 jam

---

Sila pastikan bahawa kertas peperiksaan ini mengandungi LAPAN muka surat yang bercetak dan DUA muka surat Lampiran sebelum anda memulakan peperiksaan ini.

**Arahan:** Jawab mana-mana **EMPAT (4)** soalan.

Pelajar boleh menjawab semua soalan dalam Bahasa Malaysia. Jika pelajar ingin menjawab dalam Bahasa Inggeris, pelajar hendaklah menjawab sekurang-kurangnya SATU soalan dalam Bahasa Malaysia.

...2/-

1. Suatu proses mempunyai ungkapan rangkap pindah seperti di bawah:

$$\begin{bmatrix} Y_1(s) \\ Y_2(s) \end{bmatrix} = \begin{bmatrix} \frac{4e^{-4s}}{7s+1} & \frac{6e^{-3s}}{5s+1} \\ \frac{6e^{-2s}}{12s+1} & \frac{6e^{-3s}}{10s+1} \end{bmatrix} \begin{bmatrix} U_1(s) \\ U_2(s) \end{bmatrix}$$

[a] Lukiskan gambarajah blok yang mewakili ungkapan matrik rangkap pindah tersebut.

[4 markah]

[b] Lukiskan gambarajah blok yang mencadangkan struktur sistem kawalan nyahgandingan. Terangkan dengan jelas fungsi setiap gambarajah blok tersebut.

[6 markah]

[c] Cadangkan satu skema kawalan unggul bagi sistem kawalan nyahgandingan dengan menggunakan data yang diberikan dalam matrik rangkap pindah proses. Terangkan dengan jelas kriteria rekabentuk anda.

[12 markah]

[d] Jelaskan bagaimana sistem kawalan nyahgandingan boleh dipermudahkan untuk tujuan pelaksanaan secara praktikal. Apakah kesan langkah pemudahan kepada sistem kawalan tersebut?

[3 markah]

1. *A process has the following transfer function description:*

$$\begin{bmatrix} Y_1(s) \\ Y_2(s) \end{bmatrix} = \begin{bmatrix} \frac{4e^{-4s}}{7s+1} & \frac{6e^{-3s}}{5s+1} \\ \frac{6e^{-2s}}{12s+1} & \frac{6e^{-3s}}{10s+1} \end{bmatrix} \begin{bmatrix} U_1(s) \\ U_2(s) \end{bmatrix}$$

[a] *Draw a block diagram representation of the transfer function matrix*

[4 marks]

[b] *Draw a block diagram proposing the structure of a decoupling control system. Clearly state the function of each block.*

[6 marks]

[c] *Design an ideal decoupling control scheme using the data provided in the process transfer function matrix. Clearly indicate your design criteria*

[12 marks]

...3/-

[d] *Indicates how the decoupling control system may be simplified based upon practical consideration. What are the consequences of any simplification made?*

[3 marks]

2. [a] Dengan mengambil kira satu sistem dengan dua masukan, dua keluaran yang mempunyai ungkapan rangkap pindah berikut:

$$[G(s)] = \begin{bmatrix} \frac{1}{s+2} & \frac{10}{s+1} \\ \frac{1}{s+5} & \frac{5}{s+3} \end{bmatrix}$$

[i] Tentukan RGA untuk sistem ini pada  $G(0)$ ?

[5 markah]

[ii] Pasangan masukan-keluaran yang manakah lebih sesuai digunakan? Sila tentusahkan jawapan anda.

[3 markah]

- [b] Cadangkan satu strategi sistem kawalan ramalan model(MPC) untuk proses berikut

$$[G_p(s)] = \left[ \frac{e^{-6s}}{10s+1} \right] \quad G_v = G_m = 1$$

Pilih nilai-nilai  $N$  berdasarkan pelengkapan 95 % sambutan langkah dan  $\Delta t = 2.0$ . Dapatkan gandaan kawalan  $K_c$  dengan parameter rekabentuk yang berikut:

Ufuk kawalan  $M = 1$ , ufuk ramalan  $P = 10$ , berat keluaran  $Q = I$ , dan berat masukan  $R = 0$ .

[17 markah]

2. [a] *Consider a two-input, two-output system with the transfer function of:*

$$[G(s)] = \begin{bmatrix} \frac{1}{s+2} & \frac{10}{s+1} \\ \frac{1}{s+5} & \frac{5}{s+3} \end{bmatrix}$$

[i] *Determine the RGA of this system at  $G(0)$ ?*

[5 marks]

[ii] *Which input-output pairing should be preferred? Please justify your answer.*

[3 marks]

...4/-

[b] Design a model predictive control (MPC) strategy for the process

$$[G_p(s)] = \left[ \frac{e^{-6s}}{10s+1} \right] \quad G_v = G_m = 1$$

Select a value of  $N$  based on 95% completion of the step response and  $\Delta t = 2.0$ . Obtain the controller gain  $K_c$  with the following design parameters:

Control horizon  $M = 1$ , Prediction Horizon,  $P = 10$ , output weight  $Q = I$ , and input weight  $R = 0$ .

[17 marks]

3. [a] Kenapa skema kawalan lazim adalah kurang berkesan jika dibandingkan dengan skema sistem kawalan ramalan model? Sila jelaskan jawapan anda.

[5 markah]

- [b] Dalam pelaksanaan MPC di dalam loji bagi suatu proses tertentu, ada beberapa langkah yang terlibat. Nyatakan dan terangkan secara ringkas langkah yang terlibat dalam pelaksanaan MPC.

[8 markah]

- [c] Satu proses termasuk penderia dan injap kawalan boleh diungkapkan sebagai model berikut:

$$g_p(s) = \frac{Ke^{-\theta s}}{s}$$

Terbitkan parameter-parameter pengawal PID menggunakan Kaedah Sintesis Terus.

Diberi: Penapis,  $f$ , ialah

$$f = \frac{(2\lambda - C)s + 1}{(\lambda\lambda + 1)^2} \quad \text{di mana} \quad C = \left. \frac{d\tilde{g}_{p+}}{ds} \right|_{s=0}$$

dan penghampiran masa-lengah ialah  $e^{-\theta s} \cong 1 - \theta s$

[12 markah]

3. [a] Why the conventional control schemes are less effective compare to model predictive control (MPC) schemes? Clearly justify your answer.

[5 marks]

- [b] In implementation of MPC in the plant or for the certain process, there is a couple of steps involve. Please indicate and briefly explained the steps involve in implementing MPC.

[8 marks]

...5/-

[c] A process including sensor and control valve can be modelled by:

$$g_p(s) = \frac{Ke^{-\theta s}}{s}$$

Derive the PI controller settings using Direct Synthesis Method.

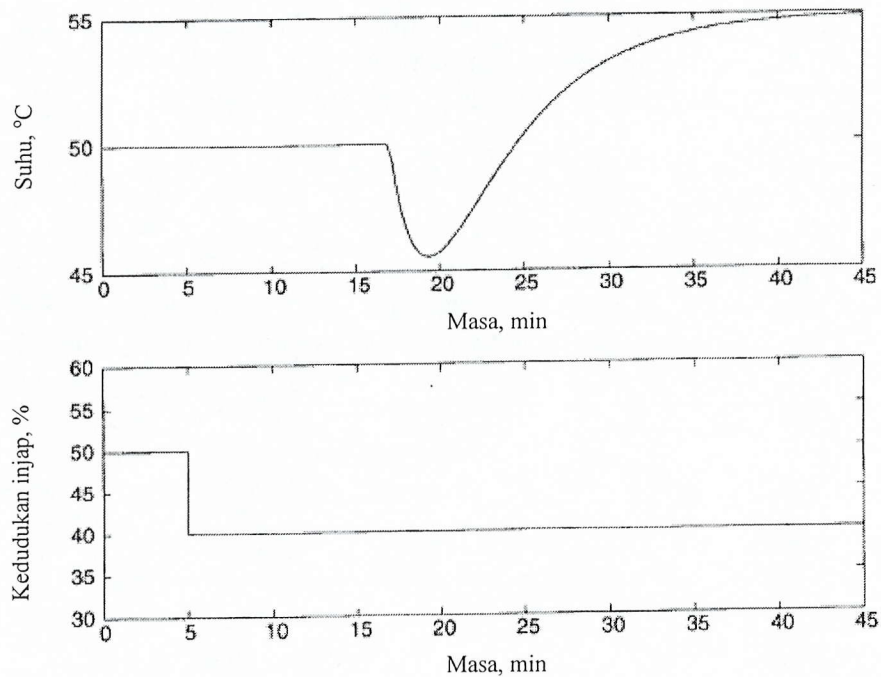
Given: Filter,  $f$ , is

$$f = \frac{(2\lambda - C)s + 1}{(\lambda s + 1)^2} \quad \text{where } C = \left. \frac{d\tilde{g}_{p+}}{ds} \right|_{s=0}$$

and time-delay approximation is  $e^{-\theta s} \cong 1 - \theta s$

[12 marks]

4. [a] Reaktor lapisan terpadat selalunya menunjukkan kelakuan sambutan songsang. Rajah S. 4. [a] menunjukkan kelakuan satu sambutan langkah bagi reaktor lapisan terpadat. Satu pengurangan langkah bagi kedudukan injap stim telah dibuat pada masa  $t = 5$  minit.



Rajah S.4. [a] : Kelakuan Sambutan Langkah bagi Satu Reaktor Lapisan Terpadat

Proses model (unit masa ialah minit) yang mewakili proses tersebut telah dibina seperti berikut:

$$\tilde{g}_p(s) = \frac{-0.5(-10s + 1)e^{-12s}}{(5s + 1)(3s + 1)}$$

- [i] Apakah unit bagi gandaan proses tersebut?

...6/-

- [ii] Rekabentukkan Kawalan Model Dalam (IMC) bagi proses ini. Gunakan pemfaktoran lulus-semua bagi RHP sifar dan andaikan bahawa  $q(s)$  adalah separuh wajar.
- [iii] Dengan mengandaikan model adalah sempurna, plot secara kualitatif bagaimana sambutan suhu terhadap perubahan langkah titik set  $1^\circ\text{C}$ .

[13 markah]

- [b] Gunakan tatacara rekabentuk IMC-asas PID untuk mencari pengawal PID bagi rangkap pindah tertib kedua berikut:

$$\tilde{g}_p(s) = \frac{k_p}{\tau^2 s^2 + 2\zeta\tau s + 1}$$

Petunjuk: Rekabentukkan IMC dengan membenarkan pengawal tersebut separuh wajar. Apakah tertib penapis yang anda perolehi?

- [i] Carikan parameter-parameter bagi PID,  $k_c$ ,  $\tau_I$ ,  $\tau_D$ , sebagai fungsi parameter-parameter proses model,  $k_p$ ,  $\tau$ ,  $\zeta$  dan faktor penapis,  $\lambda$ .
- [ii] Bagi model yang sempurna, plotkan sambutan gelung tertutup bagi  $y$  terhadap perubahan langkah titik set dalam,  $r$  (sebagai fungsi  $\lambda$ ). (Tunjukkan gambarajah blok kawalan anda).

Diberi:  $\lambda = 2$  minit,  $\zeta = 0.8$ , dan  $k_p = 5.25$  psig/gpm

[12 markah]

4. [a] *Packed-bed reactors often exhibit "wrong way" (inverse response) behavior. Figure Q. 4. [a] shows a step response behavior for a packed-bed reactor. A step decrease in steam valve position was made at  $t = 5$  minutes.*

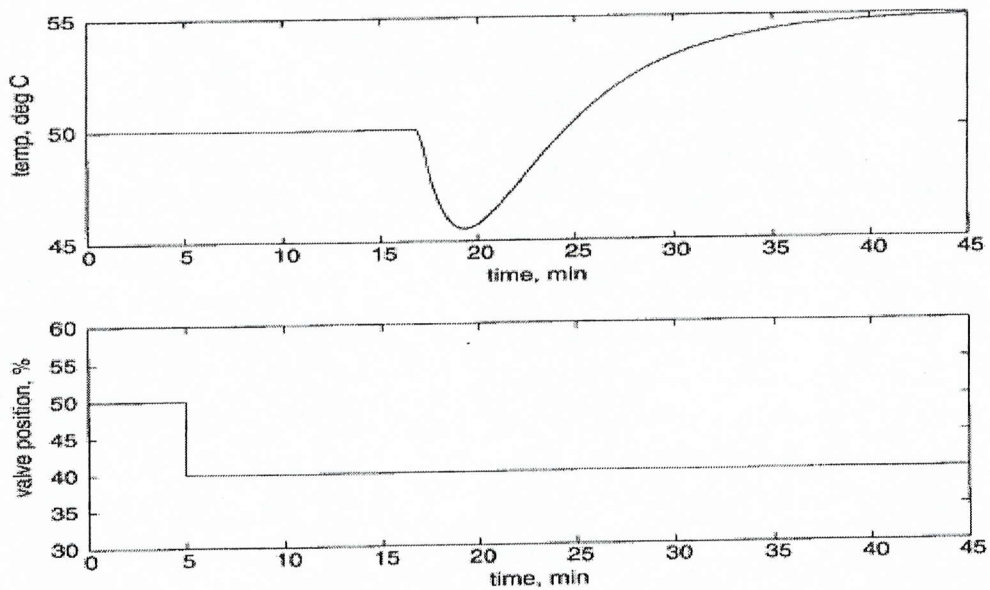


Figure Q.4. [a] : Step Response Behavior for a Packed-Bed Reactor

The following process model (the time unit is minutes) that represents the process has been developed:

$$\tilde{g}_p(s) = \frac{-0.5(-10s + 1)e^{-12s}}{(5s + 1)(3s + 1)}$$

- [i] What are the units for the process gain?
- [ii] Design an Internal Model Control (IMC) for this process. Use the all-pass factorization for the RHP zero, and assume that  $q(s)$  is semi proper.
- [iii] Assuming a perfect model, plot qualitatively how the temperature will respond to a step set point change of  $1^\circ\text{C}$ .

[13 marks]

- [b] Use the IMC-based PID design procedure to find the PID controller for a second-order transfer function:

$$\tilde{g}_p(s) = \frac{k_p}{\tau^2 s^2 + 2\zeta\tau s + 1}$$

Hint: First design the IMC, assuming that you will allow the controller to be improper. What order filter do you find?

- [i] Find the PID parameters,  $k_c$ ,  $\tau_i$ ,  $\tau_D$ , as a function of the process model parameters,  $k_p$ ,  $\tau$ ,  $\zeta$  and the filter factor,  $\lambda$ .
- [ii] For a perfect model, plot the closed-loop response of  $y$  to a step change in set point,  $r$  (as a function of  $\lambda$ ). (Show your control block diagram).

Given:  $\lambda = 2$  minutes,  $\zeta = 0.8$ , and  $k_p = 5.25$  psig/gpm

[12 marks]

5. [a] Terangkan secara ringkas lima peraturan untuk merekabentuk kawalan lata.
- [5 markah]
- [b] Apakah kawalan suai dan mengapa ia diperlukan dalam kawalan proses kimia?
- [2 markah]
- [c] Apakah pemampas "Smith"? Lukiskan gambarajah bloknya dan terbitkan fungsi rangkap pindah gelung tertutup titik setnya. Anggapkan bahawa tiada ralat pada model.

[5 markah]

...8/-

- [d] Pemampas “Smith” digunakan bersama proses dengan pengamir dan masa-lengah seperti berikut:

$$g_p(s) = \frac{2}{s} e^{-3s}$$

- [i] Terbitkan rangkap gelung tertutup bagi gangguan, Y/D.  
 [ii] Bagi gangguan satu unit langkah dan  $g_d = g$ , tunjukkan bahawa pengawal PI tidak akan menghapuskan ofset walaupun model adalah sempurna.

Diberi:

Peraturan L’Hopital’s:

Jika  $\lim_{x \rightarrow c} f(x) = 0$  dan  $\lim_{x \rightarrow c} g(x) = 0$  atau  $\lim_{x \rightarrow c} f(x) = \infty$  dan  $\lim_{x \rightarrow c} g(x) = \infty$ , maka

$$\lim_{x \rightarrow c} \frac{f(x)}{g(x)} = \lim_{x \rightarrow c} \frac{f'(x)}{g'(x)}, \text{ c samada nombor terhingga atau } \infty.$$

[13 markah]

5. [a] Briefly explain the five criterias to design a cascade control. [5 marks]  
 [b] What is adaptive control and why it is needed in chemical process control? [2 marks]  
 [c] What is Smith Predictor? Draw its block diagram and derive the closed-loop set point transfer function. Assume that there is no model error. [5 marks]  
 [d] Smith predictor is to be used with an integrator-plus-time-delay process:

$$g_p(s) = \frac{2}{s} e^{-3s}$$

- [i] Derive the closed-loop disturbances transfer function, Y/D.  
 [ii] For a unit step disturbance and  $g_d = g$ , shows that PI control will not eliminate offset even when the model is known perfectly.

Given:

L’Hopital’s Rules:

If  $\lim_{x \rightarrow c} f(x) = 0$  and  $\lim_{x \rightarrow c} g(x) = 0$  or  $\lim_{x \rightarrow c} f(x) = \infty$  and  $\lim_{x \rightarrow c} g(x) = \infty$ , then

$$\lim_{x \rightarrow c} \frac{f(x)}{g(x)} = \lim_{x \rightarrow c} \frac{f'(x)}{g'(x)}, \text{ c is either a finite number or } \infty.$$

[13 marks]



Lampiran

Table Laplace Transforms for Various Time-Domain Functions<sup>a</sup>

$f(t)$	$F(s)$
1. $\delta(t)$ (unit impulse)	1
2. $S(t)$ (unit step)	$\frac{1}{s}$
3. $t$ (ramp)	$\frac{1}{s^2}$
4. $t^{n-1}$	$\frac{(n-1)!}{s^n}$
5. $e^{-bt}$	$\frac{1}{s+b}$
6. $\frac{1}{\tau} e^{-t/\tau}$	$\frac{1}{\tau s + 1}$
7. $\frac{t^{n-1} e^{-bt}}{(n-1)!}$ ( $n > 0$ )	$\frac{1}{(s+b)^n}$
8. $\frac{1}{\tau^n (n-1)!} t^{n-1} e^{-t/\tau}$	$\frac{1}{(\tau s + 1)^n}$
9. $\frac{1}{b_1 - b_2} (e^{-b_2 t} - e^{-b_1 t})$	$\frac{1}{(s+b_1)(s+b_2)}$
10. $\frac{1}{\tau_1 - \tau_2} (e^{-t/\tau_1} - e^{-t/\tau_2})$	$\frac{1}{(\tau_1 s + 1)(\tau_2 s + 1)}$
11. $\frac{b_3 - b_1}{b_2 - b_1} e^{-b_1 t} + \frac{b_3 - b_2}{b_1 - b_2} e^{-b_2 t}$	$\frac{s + b_3}{(s+b_1)(s+b_2)}$
12. $\frac{1}{\tau_1} \frac{\tau_1 - \tau_3}{\tau_1 - \tau_2} e^{-t/\tau_1} + \frac{1}{\tau_2} \frac{\tau_2 - \tau_3}{\tau_2 - \tau_1} e^{-t/\tau_2}$	$\frac{\tau_3 s + 1}{(\tau_1 s + 1)(\tau_2 s + 1)}$
13. $1 - e^{-t/\tau}$	$\frac{1}{s(\tau s + 1)}$
14. $\sin \omega t$	$\frac{\omega}{s^2 + \omega^2}$
15. $\cos \omega t$	$\frac{s}{s^2 + \omega^2}$
16. $\sin(\omega t + \phi)$	$\frac{\omega \cos \phi + s \sin \phi}{s^2 + \omega^2}$
17. $e^{-bt} \sin \omega t$	$\left\{ \begin{array}{l} \frac{\omega}{(s+b)^2 + \omega^2} \\ \frac{s+b}{(s+b)^2 + \omega^2} \end{array} \right.$
18. $e^{-bt} \cos \omega t$	
$b, \omega$ real	
19. $\frac{1}{\tau \sqrt{1-\zeta^2}} e^{-\zeta t/\tau} \sin(\sqrt{1-\zeta^2} t/\tau)$ ( $0 \leq  \zeta  < 1$ )	$\frac{1}{\tau^2 s^2 + 2\zeta \tau s + 1}$
20. $1 + \frac{1}{\tau_2} \frac{1}{\tau_1} (\tau_1 e^{-t/\tau_1} - \tau_2 e^{-t/\tau_2})$ ( $\tau_1 \neq \tau_2$ )	$\frac{1}{s(\tau_1 s + 1)(\tau_2 s + 1)}$
21. $1 - \frac{1}{\sqrt{1-\zeta^2}} e^{-\zeta t/\tau} \sin[\sqrt{1-\zeta^2} t/\tau + \psi]$ $\psi = \tan^{-1} \frac{\sqrt{1-\zeta^2}}{\zeta}$ , ( $0 \leq  \zeta  < 1$ )	$\frac{1}{s(\tau^2 s^2 + 2\zeta \tau s + 1)}$
22. $1 - e^{-\zeta t/\tau} [\cos(\sqrt{1-\zeta^2} t/\tau) + \frac{\zeta}{\sqrt{1-\zeta^2}} \sin(\sqrt{1-\zeta^2} t/\tau)]$ ( $0 \leq  \zeta  < 1$ )	$\frac{1}{s(\tau^2 s^2 + 2\zeta \tau s + 1)}$
23. $1 + \frac{\tau_3 - \tau_1}{\tau_1 - \tau_2} e^{-t/\tau_1} + \frac{\tau_3 - \tau_2}{\tau_2 - \tau_1} e^{-t/\tau_2}$ ( $\tau_1 \neq \tau_2$ )	$\frac{\tau_3 s + 1}{s(\tau_1 s + 1)(\tau_2 s + 1)}$
24. $\frac{df}{dt}$	$sF(s) - f(0)$
25. $\frac{d^n f}{dt^n}$	$s^n F(s) - s^{n-1} f(0) - s^{n-2} f^{(1)}(0) - \dots - s f^{(n-2)}(0) - f^{(n-1)}(0)$
26. $f(t - t_0)S(t - t_0)$	$e^{-ts} F(s)$

<sup>a</sup>Note that  $f(t)$  and  $F(s)$  are defined for  $t \geq 0$  only.

52